

열처리 조건에 따른 Ag-In-Sb-Te 상변화 기록 박막의 미세 조직과 반사도의 관계

Dependence of Microstructure and Optical Properties of Ag-In-Sb-Te Phase-Change Recording Thin Films on Annealing Heat-Treatments

서 훈*, 박정우, 최우석, 김명룡

LG 전자기술원, 137-140 서울특별시 서초구우면동 16 번지

H. Seo*, J. W. Park, W. S. Choi and M. R. Kim

Devices & Materials Research Lab., LG Electronics Research Center

16, Woomyon-Dong, Seocho-Ku, Seoul, 137-140 KOREA

Abstract

The dependence of microstructural and optical properties of Ag-In-Sb-Te thin films on annealing heat-treatments was studied. It was found from the present work that the increase of reflectance after annealing heat-treatment is related with phase change of Ag-In-Sb-Te thin film from amorphous state to crystalline phases which involve Sb crystalline phase and AgInTe₂ stoichiometric phase. On the other hand, the reflectance is decreased after high temperature annealing (above 450 °C), due to the morphology change of film surface. For the purpose of practical application(erasable optical disk), we fabricated quadrilayered Ag-In-Sb-Te alloy disk, and annealed it with continuous laser beam. As result of this laser-annealing treatment, we found that the increment of reflectance is 9.3% at 780nm wavelength. It might be considered that Ag-In-Sb-Te alloy optical disk is the big promising candidate for the erasable optical memory medium.

KEYWORDS: phase change, optical disk, erasable optical disk, Ag-In-Sb-Te, CD-E, reflectance, X-ray diffraction, laser-annealing, amorphous, refractive index

1. 서론

현재 폭넓게 보급되어 사용되는 CD-ROM 과 하위 호환성(backward compatibility)이 있는 소거 가능 compact disk (CD-Erasable, CD-E)는 각종 computer data backup 은 물론 audio/video image 를 저장하는 기록 매체로 큰 관심을 모으고 있다. CD 규격에서 디스크로부터 재생 신호에 대한 명확한 규정을 두고 있는데, 이에 따르면 미기록 영역의 반사도가 70% 혹은 그 이상, CD-player 에서의 높은 변조도(60%이상)를 요구한다⁽¹⁾. 그러나, 반복기록이 가능하면서 하위호환성을 부여하기 위해 이들 요구 조건을 만족시키는 CD-E 매체의 연구는 지난 10년간 수행되어 왔음에도 불구하고 기록층 재료의 문제점으로 인해 어려움을 겪어 왔다. 최근 Philips 사를 주축으로 한 몇

몇 회사들은 기존 CD-ROM player 의 automatic gain control 기능이 장착되는 것에 착안하여 새로운 CD-E 규격을 제안하였다⁽²⁾. 이에 따르면 매체의 최고 반사도가 기존의 70%에서 15 ~ 25%에 들어가게 함으로써 CD-E 매체의 실용화에 큰 가능성을 보여 주었다. CD 는 pulse width modulation 방법을 사용하므로 CD-E 에서는 기록된 mark 의 길이와 edge 의 형상을 매우 정교하게 제어할 필요가 있다. 이같은 요구 조건을 만족시키는 기록 물질로 최근 활발히 연구 되기 시작한 합금계가 AgInSbTe system 이다^(3,4,5).

본 연구에서는 CD-E 용 기록막 재료로 사용하기 위한 가능성 탐진을 위한 Ag-In-Sb-Te 재료의 기본물성을 확보하기 위한 것으로서 열처리에 따른 기록막의 반사도와 상변화의 관계를 조사

하였다. 또한 4 층막 구조의 디스크를 제작하여 성막 상태 (as deposited) 및 laser 빔에 의한 열 처리상태 (초기화)에 대하여 입사광의 파장에 따른 반사도를 측정하였다. 이들의 결과를 simulation에 의한 반사도 예측치와 비교하여 향후 상변화 기술을 이용한 CD-E 디스크의 구조/재료설계에 활용될 기초자료를 얻고자 하였다.

2. 실험방법

본 연구에서는 기록막 재료인 AgInSbTe 박막은 소결시켜 제조한 합금 target을 이용하여 DC-magnetron sputtering 방법으로 제조하였다. 이때 sputtering power 와 argon gas의 압력은 각각 100Watt, 5 mTorr 으로 하였다. 이같이 제조된 박막의 조성을 inductively coupled plasma spectroscopy (ICP)를 이용해 분석하였다. 각 조성은 Ag 5, In 7, Te 27, Sb 61 (at.%)으로 나타났다. 또한 급속열처리기 (RTP: rapid thermal processor)를 이용해 AgInSbTe 박막의 반사도 및 표면상태에 미치는 열처리효과를 조사하기 위해 N₂ gas 2~3 liter/min 분위기에서 상온에서부터 700 °C 까지의 열처리 영향을 조사하였다. 기판은 (100)방위의 silicon 단결정을 이용하였다. 이 단층 기록막의 열처리 전후의 표면상태는 광학현미경, 주사전자현미경(SEM) 및 atomic force microscope (AFM: PSI model XL2)를 이용하여 관찰하였다. 또한 이 단층박막의 열처리 온도에 따른 반사도 변화는 spectrophotometer (Hitachi U-4001)를 이용하여 550nm에서 850nm 파장 대역에서 측정하였다. 열처리에 의한 박막의 상변화 거동은 X-ray 회절장치(XRD: Rigaku)를 이용하여 2 Θ-scan mode (thin film attachment)에서 행했다.

본 연구에서는 또한 실용화 측면을 고려하여 laser 빔에 의한 bit 기록과정에서 냉각속도가 빠른 기판/하부 유전체막/기록막/상부유전체막/반사 방열층의 4 층막 구조의 디스크를 제작하여 광특성을 평가하였다. 유전체막은 ZnS-SiO₂ 막을, 반사 방열층으로는 Au 박막을 이용하였다. Fig.1 은 제작된 디스크의 구조를 모식도로 보여준다. 각층의 두께는 D3 X-ray reflectivity (Direct Drive Diffractometer: Bede Scientific Inc.) 방법을 이용

Au	800 Å	Reflective Layer
ZnS-SiO ₂	300 Å	Dielectric Layer 2
Ag-In-Sb-Te	250 Å	Recording Layer
ZnS-SiO ₂	800 Å	Dielectric Layer 1
Polycarbonate		Substrate

Fig.1 Schematic cross-sectional view of the disk sample.

하여 평가하였다. 각층의 광학상수는 분광타원분석기(spectroscopic ellipsometer, Rudolph/ S2000)를 이용하여 구하였다. 이들 광학상수를 바탕으로 각층의 두께는 computer simulation을 통하여 파장 780nm에서 적절한 반사도를 가지는 것으로 예상되는 범위로 조정하였다. 디스크의 열처리는 집속된 laser 빔을 박막에 연속 조사시켜 상변화를 일으킬 수 있는 디스크 초기화 장치(initializer)를 이용하여 laser power 6mW, 선속도 2 m/sec의 조건으로 행하였다. 또한 단층 기록막의 비정질과 결정질상 간의 반사도를 simulation하여 이를 실제 측정된 값과 비교하여 검토하였다. simulation은 다층막의 반사도 계산식을 이용하였다⁽⁶⁾.

3. 실험결과 및 검토

Fig.2 는 AgInSbTe 단층 박막의 반사도를 열처리 온도별로 나타낸 것으로 as-depo. 상태인 경우 파장 780nm에서 47%의 반사도를 나타내는데 반해, 열처리 온도가 200 °C에 이르면 반사도가 58%로 약 11%의 증가를 보인다. 이는 amorphous에서 crystalline phase로의 상변화에 의해 반사도가 증가한 것으로 나타났다. 열처리 온도가 400 °C인 경우도 비슷한 경향이 지속되나, 450 °C에 이르면 반사도가 27%로 급격히 감소하였다. 또한 700 °C까지 열처리 온도를 증가 시켜도 반사도는 비슷하게 지속되고 있음을 알 수 있다.

Fig.3은 RTP를 이용한 열처리시 온도-시간 profile을 보여준다. 그림에서 알 수 있듯이 3초 정도의 짧은 시간에 원하는 열처리 온도까지 승

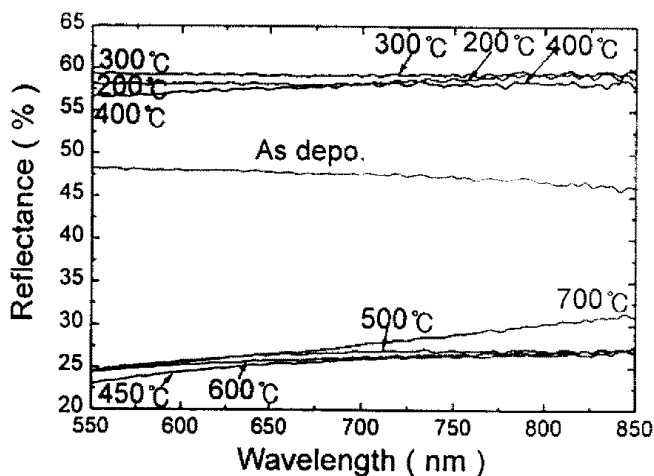


Fig.2 The dependence of optical reflectance of single-layered Ag-In-Sb-Te alloy film on annealing temperatures. Here, substrate is Si(100) and thickness of film is fixed at 1000 Å

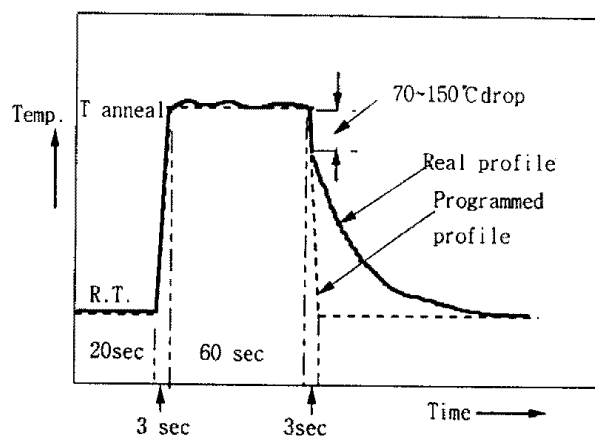


Fig.3 Annealing time-temperature profile using rapid thermal processor(RTP). The atmosphere of annealing is nitrogen gas flow with flow rate 2~3 liter/min.

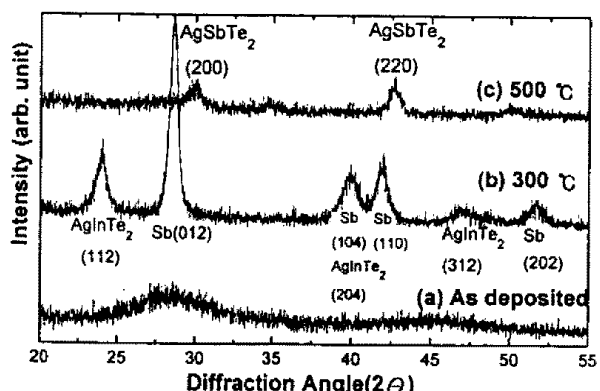


Fig.4 X-ray diffraction patterns of (a) single-layered Ag-In-Sb-Te film as deposited, (b) after annealing at 300 °C and (c) after annealing at 500 °C.

온되어 1분 열처리한 후 다시 3초간에 N₂ purge에 의해 실온까지 온도가 떨어지도록 된 programmed profile 과는 달리 N₂ purge 초기 0.5초 동안 열처리 온도에 따라 70 ~150 °C정도 급강하 한 뒤 부터는 실온까지 서서히 감소하고 있는 것을 알 수 있다.

반사도의 변화를 규명하고자 대표적 열처리 온도인 as-deposited, 300 °C, 500 °C에서의 XRD pattern 을 Fig.4에 나타내었다. As-depo.의 경우, 완만한 peak 으로 나타나 거의 amorphous phase임을 알 수 있고, 300 °C의 경우는 Sb 및 AgInTe₂ 결정상이 출현하고 있다. 500 °C에 이르면 이들 Sb 및 AgInTe₂ 결정상이 사라지고 AgSbTe₂ 결정상이 나타나고 있는데, 회절 peak 의 형태로 보아 그 크기가 매우 작은 결정상태로 생각된다.

본 연구 결과의 해석에 있어 저자들은 위에서 언급한 열처리에 따른 상변화 외에도 열처리 도중, 박막의 표면상태가 반사도에 영향을 미칠 수 있음을 고려하여 표면 상태를 조사하였다. Fig.5는 RTP 열처리 온도에 따른 단층의 AgInSbTe 박막의 표면상을 광학 현미경에 의해 관찰한 것을 보여준다. As-deposited 상태의 경우 표면이 평탄한 상태이지만, 300 °C에 이르면 검은 점들이 출현하고 있고 400 °C에서는 이러한

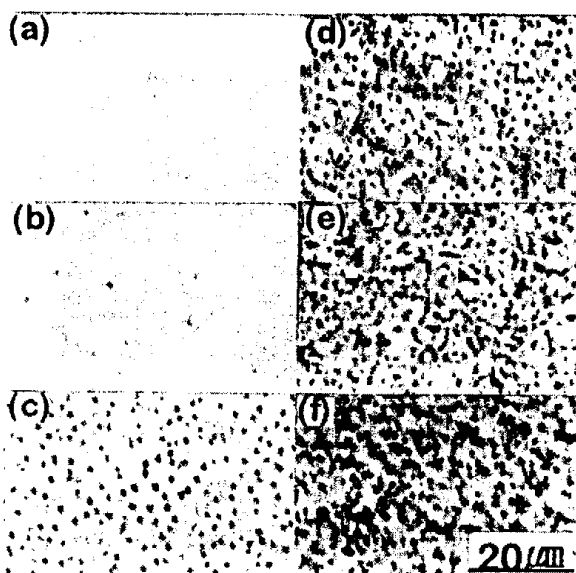


Fig.5 Optical micrographs of the single-layered Ag-In-Sb-Te film showing morphological change of surface with respect to annealing temperatures in 1minute. (a) as-deposited, (b) 300 °C, (c) 400 °C, (d) 450 °C, (e) 500 °C, (f) 700 °C

검은 점들의 수가 증가하면서 표면의 거칠기가 다소 증가하고, 500 °C, 700 °C에서는 표면의 거칠기가 더욱 커지고 있음을 알 수 있다. 이는 400 °C~500 °C에서부터 박막이 일부 융융 및 응고되어 나타나는 현상으로 생각되어 이를 규명하고자 SEM 및 AFM(atomic force microscopy)으로 표면형상을 mapping 하여, Fig.6, 7에 나타내었다. 이들 그림에서도 알 수 있듯이 400 °C에서 표면의 거칠기가 증가되고 있고 500 °C부터는 박막이 융융/응고 되었다는 것이 명확하였으며, 광학현미경 하에서의 검은 점들은 미세한 기포임을 알 수 있다.

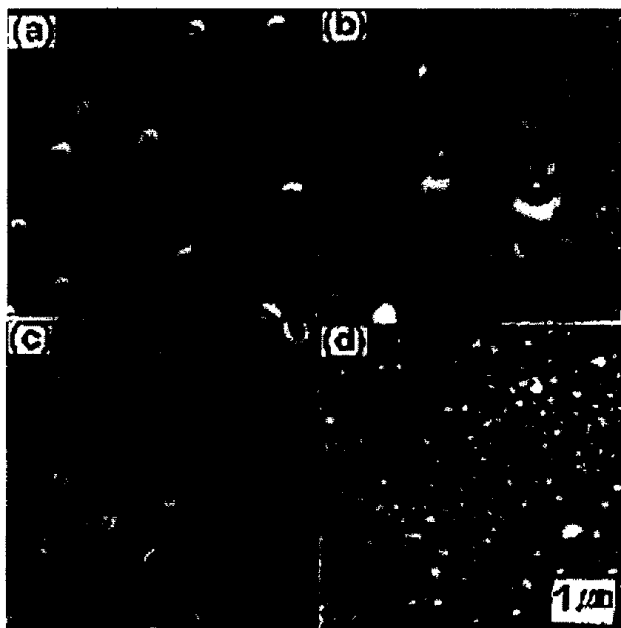


Fig.6 SEM micrographs of the single-layered Ag-In-Sb-Te film with respect to annealing temperatures at 1 minute. (a) 400 °C, (b) 450 °C, (c) 500 °C (d) 700 °C

열처리 온도에 따른 표면거칠기(RMS)와 780nm에서의 반사도 변화양상을 Fig.8에 나타내었다. 여기서 보듯이 표면조도의 변화(증가)가 반사도 감소의 주 원인으로 생각할 수 있다. Fig.9는 단층 AgInSbTe 박막의 반사도에 미치는 열처리온도 효과를 종합한 것이다.

파장에 따른 4 층막 디스크 각층의 광학상수를 측정한 결과를 Fig.10에 나타내었다. 먼저 AgInSbTe 단층 기록막에 있어서의 반사도

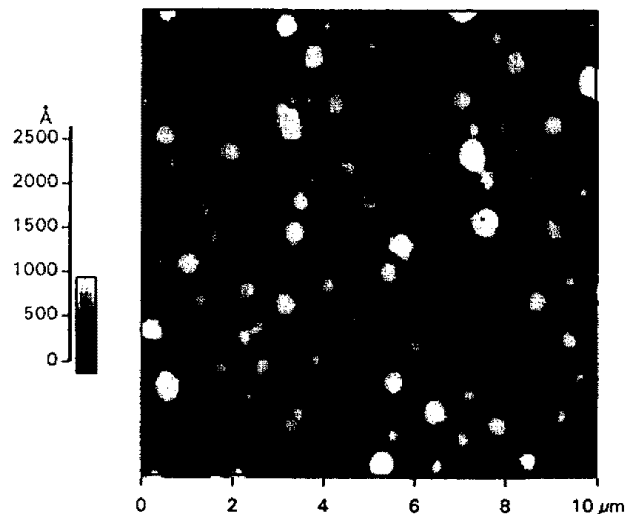


Fig.7 AFM topography of the single-layered Ag-In-Sb-Te film after annealing 1 minute at 500 °C. It shows that the irregular surface morphology corresponds to melting and solidification during RTP process.

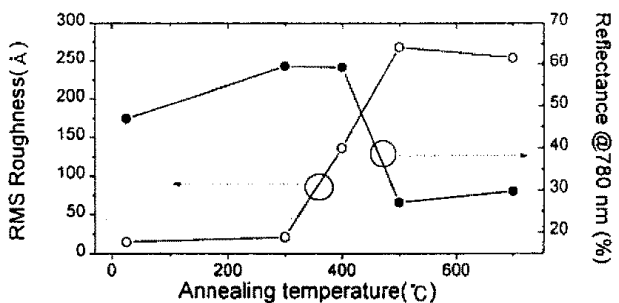


Fig.8 Annealing temperature dependence of reflectance and RMS roughness of AgInSbTe single-layered alloy film deposited on the Si(100) substrate.

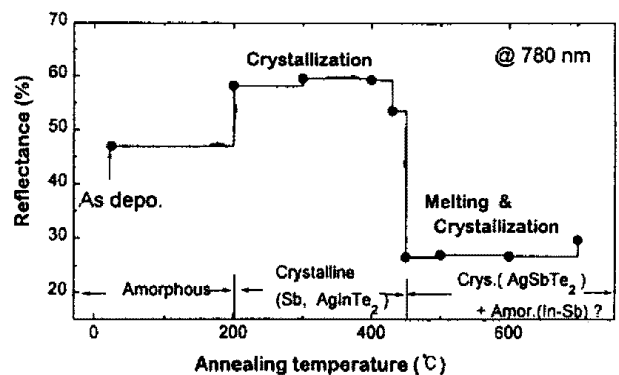


Fig.9 Summary of annealing effects on the reflectance change and phase change of AgInSbTe single-layered alloy film deposited on the Si(100) substrate.

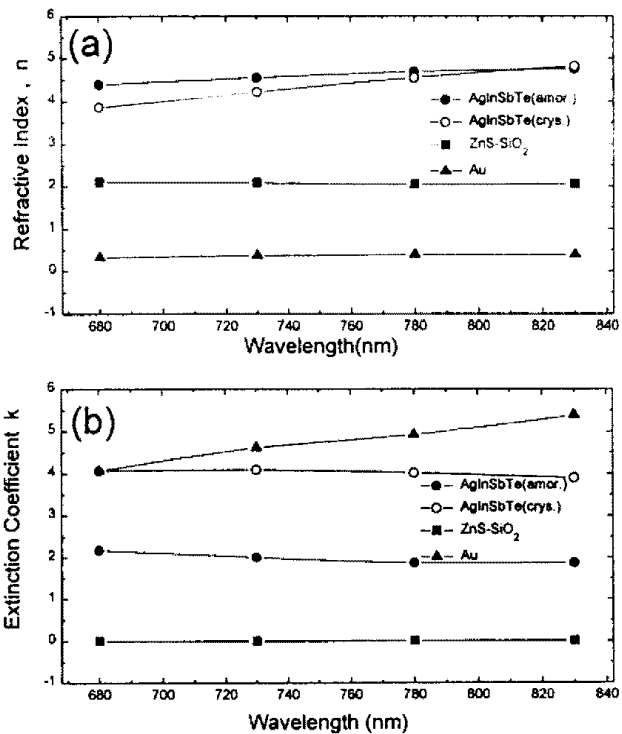


Fig.10 The measured optical constants of each layer composing the quadrilayered disk.
(a) refractive indices n , (b) extinction coefficient k

simulation 을 행한 결과, 측정치와 상당히 가깝게 나타나 정확도 측면에서 신뢰성이 있는것으로 나타났는데 실측치와 비교한 것이 Fig.11 이다.

다음으로 4 층막 구조에 있어서 초기 증착 상태와 laser 빔에 의한 결정화(initialization)상태의 반사도를 구하기 위해 먼저 기록막을 250 Å, 반사막을 800 Å으로 고정하고 상부유전체 및 하부유전체 각각의 두께변화에 대하여 파장에 따른 simulation 을 하였다.. 최근 제정되고 있는 CD-E 의 spec.의 경우, 최대반사도가 15 ~ 25 % 범위에 있어야 하므로 이 범위내에 들어가면서 반사율이 유전체층의 두께변화에 둔감하도록, 상부 및 하부 유전체막의 두께를 정하였는데 본 실험에서는 이 simulation 결과를 바탕으로 상부 유전체층을 300 Å, 하부 유전체층을 800 Å으로 정하였다.

Fig.12 는 실제 제작된 4 층막 디스크의 성막 상태와 laser 에 의해 초기화시킨 상태간의 파장에 따른 반사도 측정치 및 simulation 결과를 plot 한 것으로서 측정치는 780nm 에서 결정상, 비정질상의 반사도 및 반사도차 ΔR 이 각각 20.3%, 11.0%, 9.3%로 나타났다. 반면, simulation

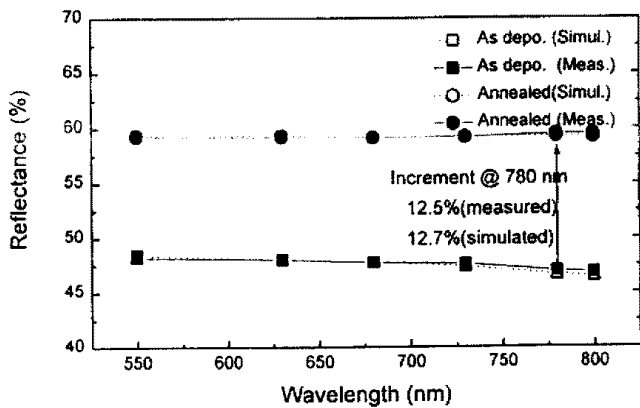


Fig.11 Simulation results and measured values of reflectance in single-layered Ag-In-Sb-Te alloy film deposited on the Si(100) substrate. Here, we fixed the thickness of film at 1000 Å.

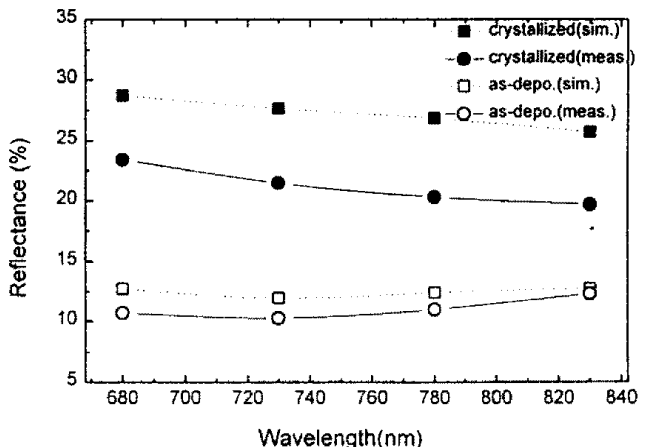


Fig.12 Simulation results and measured values of reflectance in the quadrilayered Ag-In-Sb-Te alloy disk having film structure of PC substrate / 800 Å ZnS-SiO₂ / 250 Å AgInSbTe / 300 Å ZnS-SiO₂ / 800 Å Au.

결과를 보면 결정상, 비정질상의 반사도 및, ΔR 이 각각 26.8%, 12.4%, 14.4%로 나타났다. 여기서 비정질에 있어서 실험치와 계산치는 상당히 근접된 반면 결정화된 상태에 있어서는 다소 차이가 나타났다. 이의 원인으로는 여러가지가 있겠지만 기록층의 광학상수 오차에 주로 기인된다고 판단되는데, 그 이유로는 simulation 할때 이용된 기록층의 광학상수 (n, k)중 결정상의 값은 200 °C 에서 급속 열처리된 박막의 측정치 인데 반해, 실제 4 층막 디스크를 결정화 시키기 위해선 laser 빔을 이용하여 annealing 하게 되므로

출현되는 결정상의 종류의 차이가 있을 것으로 판단되며, 이는 결정화된 기록층의 광학상수의 변화를 초래 할 것으로 추측된다.

4. 결론

$\text{Ag}_5\text{In}_7\text{Sb}_{61}\text{Te}_{27}$ 단층박막의 경우, 성막초기 47%의 반사도에서 RTP 열처리 온도에 따라 200 °C 정도에 도달하면 반사도가 58%로 변하여 11%의 증가를 보였다. 이는 Sb 및 AgInTe_2 결정상 출현에 기인한 것으로, 이 상태는 400 °C 정도까지는 동일 반사도로 유지되나 450 °C 전후를 지나면서 반사도가 27%수준으로 급격히 감소하였다. 이는 박막의 부분적인 용융/증고 현상에 의해 표면 거칠기의 증대로 인한 광의 산란에 기인한 것으로 판단된다..

$\text{Ag}_5\text{In}_7\text{Sb}_{61}\text{Te}_{27}$ 박막을 이용한 4 층막 광디스크를 제작하기 위해 1 차로 computer simulation 을 통해 도출한 박막구조는 PC 기판/ ZnS-SiO_2 800 Å / AgInSbTe 250 Å / ZnS-SiO_2 300 Å / Au 800 Å 으로 이의 반사도 계산치는 결정상태, 비정질상태, ΔR 이 각각 26.8%, 12.4%, 14.4%이었으며, 실제로 제작된 디스크에 있어서의 반사도 측정치는 각각 20.3%, 11.0%, 9.3%으로서 계산치

와 다소 차이가 있는 반면, AgInSbTe 단층박막의 경우에는 측정치와 계산치가 잘 일치하는 결과를 얻을 수 있었다.

References

- 1) H.Combs et al., SPIE of Optical Data Storage'94, vol2338 (1994) p94
- 2) Recordable Compact Disc System, partIII, System Description of CD-E vol 0.8 , Sony and Philips.
- 3) H.Iwasaki et al., Jpn.J. Appl. Phys. 31 (1992) p461.
- 4) Y.Kageyama et al., Supplement of ptical MemorySymposium (1992) p.31
- 5) J. Tominaga et al., Jpn.J. Appl. Phys. 32 (1993) p1980
- 6) R.M.A. Azzam et al., Ellipsometry and Polarized Light(NH PL,1987),Ch4.3